



Research Paper

Assessment of the Impact of Climate Change and Optimization of Cropping Patterns on the Sustainability of Water Resources in the Ravansar-Sanjabi Plain, Kermanshah Province

Milad Soltani¹, Karim Solaimani² , Khalil Jalili³, Sayed Javad Sadatinejad⁴, and Fateme Shokrian⁵

- 1- Ph.D., Watershed Management and Engineering, Sari Agricultural Sciences and Natural Resources University, Sari, Iran
- 2- Professor, Department of Watershed Management, Sari Agricultural Sciences and Natural Resources University, Sari, Iran, (Corresponding author: Solaimani2001@yahoo.co.uk)
- 3- Assistant Professor, Department of Environmental Resources Management, ACECR, Kermanshah Province, Iran
- 4- Associate Professor, Faculty of New Sciences and Technology, University of Tehran, Tehran, Iran
- 5- Associate Professor, Department of Watershed Management, Sari Agricultural Sciences and Natural Resources University, Sari, Iran

Received:06 February, 2025

Revised:06 April, 2025

Accepted: 15 May, 2025

Extended Abstract

Background: Groundwater resources play an important role in the development of agriculture, industry, and health. Due to the easy access to these resources, overexploitation lowers the water table and depletes groundwater reserves. On the other hand, water has a significant impact on agricultural stability and production. The impact of climate change on the optimal management of water and soil resources is a challenging issue in many arid regions of the world. Therefore, this study aims to evaluate the effects of climate change on the Ravansar-Sanjabi Plain aquifer and to optimally allocate land to crops in the cropping pattern to achieve the highest profit in line with the optimal management of water resources and soil conservation.

Method: The Ravansar-Sanjabi study area in western Iran is an open aquifer with a thickness of about 70 meters, and the water table varies between 1317 and 1352 m from the open water table from the southwestern to the eastern parts. The main surface flow of this plain is the Qarasu River. The optimization problem was modeled, analyzed, and solved using the simplex linear programming model and Lingo software (V.11) for three management scenarios and three climate scenarios. The WEAP software was used to simulate the resources and uses (drinking, agricultural, and environmental) in the statistical period 2006-2019. To study the hydrological effects of climate change on surface water resources, the IHACRES precipitation-runoff model (V2.1) was used to simulate the future runoff of the Qarasu River in the Ravansar-Sanjabi area. To study the effect of climate change on groundwater resources, the results of the LARS-WG exponential downscaling model were used under RCP 2.6, RCP 4.5, and RCP 8.5 scenarios for the future period of 2021-2040. The LARS-WG model was implemented using daily statistics from the years 1986-2005 of the station in question.

Results: The results of the linear programming section showed that, except for onion, rainfed chickpea, orchard, vegetables, and alfalfa, the rest of the crops were removed from the cropping pattern of the region in all management and climate scenarios. The most observed change was the substitution of rainfed chickpea for rainfed wheat and onion for irrigated wheat. Moreover, changing the cropping pattern in the Ravansar-Sanjabi Plain, while observing all the constraints in the region, increases the production profit ($x=3.54$) in all the scenarios compared to the current situation. The results of the simulation of the study area by WEAP software showed that the drinking water demand was fully met during the statistical period 2006-2019, and the agricultural demand of the area faced a shortage of supply in most of the statistical period years, which was due to a decrease in the surface water resources of the Qara Su River. The results of the effect of climate change on the groundwater level showed that it decreased by about 20 to 60 cm in all months. The results of the monthly average minimum temperature in the base period (1986-2005) and the future period (2021-2040) showed an increase in the minimum temperature in the future period compared to the base period in the HadGEM2-ES, CanESM2, and CSIRO-MK3-6-0 climate prediction models under all three emission scenarios. The monthly average maximum temperature in all months also showed an increasing trend, which is expected to have



a greater increase than the minimum temperature in the future period (2021-2040) than in the base period. The results of the precipitation assessment showed that the RCP8.5 emission scenario had the highest precipitation reduction and the RCP2.6 emission scenario had the lowest precipitation reduction in all three selected climate models.

Conclusion: According to the results obtained from the climate scenarios defined in the study, it can be concluded that policymakers and managers should use the present study as a reference for the development, exploitation, and optimal management of water and soil resources in line with comprehensive watershed management. Finally, to improve the groundwater situation and maximize agricultural profits, the results showed that several scenarios were developed to reduce and stabilize aquifer extraction. The results of the groundwater simulation show that if the trend continues, it will cause serious crises. The results of the integrated model also show that if the current situation continues, 15 to 25% of agricultural needs will not be met in some months, which, taking into account the effect of climate change, will increase this shortage by about 1 to 3% in the long term. The results of the optimization model section indicate that, except for onion, rainfed chickpea, garden, vegetables, and alfalfa, the rest of the crops should be removed from the cropping pattern of the region in all management and climate scenarios. However, if the optimization model is implemented and aquifer extraction is reduced from 20% to 50%, farmers can make more profit than in the current situation. Therefore, to maintain the status of groundwater resources and the environment of the region, and to pay attention to the farmers' profit, regional managers should always take serious measures to limit the use of groundwater resources and modify the cropping pattern and cropping area based on the results of this research.

Keywords: Climate change, Linear programming, Optimization, Ravansar-Sanjabi plain, WEAP model

How to Cite This Article: Soltani, M., Solaimani, K., Jalili, Kh., Sadatinejad, S. J., & Shokrian, F. (2025). Assessment of the Impact of Climate Change and Optimization of Cropping Patterns on the Sustainability of Water Resources in the Ravansar -Sanjabi Plain, Kermanshah Province. *J Watershed Manage Res*, 16(2), 79-96. DOI: 10.61882/jwmr.2025.1297



مقاله پژوهشی

ارزیابی اثرات تغییر اقلیم و بهینه‌سازی الگوی کشت بر پایداری منابع آب دشت روانسر سنجایی استان کرمانشاه

میلاذ سلطانی^۱، کریم سلیمانی^۲، خلیل جلیلی^۳، سید جواد ساداتی نژاد^۴ و فاطمه شکریمان^۵

- ۱- دانش‌آموخته دکتری علوم و مهندسی آبخیزداری، دانشگاه علوم کشاورزی و منابع طبیعی ساری، ساری، ایران
 ۲- استاد، گروه علوم و مهندسی آبخیزداری، دانشگاه علوم کشاورزی و منابع طبیعی ساری، ساری، ایران، (نویسنده مسوول: Solaimani2001@yahoo.co.uk)
 ۳- استادیار، گروه مدیریت منابع محیطی پژوهشکده توسعه کالبدی، جهاد دانشگاهی کرمانشاه، کرمانشاه، ایران
 ۴- دانشیار، گروه انرژی‌های نو و تجدیدپذیر، دانشکده علوم و فنون نوین، دانشگاه تهران، تهران، ایران
 ۵- دانشیار، گروه علوم و مهندسی آبخیزداری، دانشگاه علوم کشاورزی و منابع طبیعی ساری، ساری، ایران

تاریخ پذیرش: ۱۴۰۴/۰۲/۲۵

تاریخ ویرایش: ۱۴۰۴/۰۱/۱۹
صفحه: ۷۹ تا ۹۶

تاریخ دریافت: ۱۴۰۳/۱۱/۱۸

چکیده مبسوط

مقدمه و هدف: منابع آب زیرزمینی نقش عمده‌ای در توسعه کشاورزی، صنعتی و بهداشتی دارند. بهره‌برداری بیش از حد، به دلیل سهولت دست‌یابی به این منابع، باعث پایین آمدن سطح ایستابی در سفره آب و نابودی ذخایر زیرزمینی می‌گردد. از طرفی، آب اثرات معنی‌داری بر روی ثبات کشاورزی و تولید دارد. اثرات تغییر اقلیم بر مدیریت بهینه منابع آب و خاک به‌عنوان موضوعی چالش‌برانگیز در بسیاری از مناطق خشک دنیا مطرح است. از این‌رو، هدف از این پژوهش، ارزیابی اثرات تغییر اقلیم بر آبخوان دشت روانسر سنجایی و تخصیص بهینه اراضی به محصولات موجود در الگوی کشت برای دست‌یابی به بیشترین سود در راستای مدیریت بهینه منابع آب و حفاظت از خاک است.

مواد و روش‌ها: محدوده مطالعاتی روانسر سنجایی در غرب ایران یک آبخوان آزاد است که دارای ضخامت متوسط ۷۰ متر و همچنین، تراز سطح آب زیرزمینی در محدوده‌ای بین ۱۳۱۷ تا ۱۳۵۲ متر از سطح آب‌های آزاد قرار دارد که این تغییرات به‌ترتیب از نواحی جنوب‌غربی به سمت مناطق شرقی مشاهده می‌شوند. جریان سطحی اصلی این دشت رودخانه قره‌سو است. مسئله بهینه‌سازی با استفاده از مدل برنامه‌ریزی خطی سیمپلکس و به کمک نرم‌افزار Lingo (V.11)، برای سه سناریوی مدیریتی و سه سناریوی اقلیمی مدل‌سازی، تحلیل و آنالیز گردید. به کمک نرم‌افزار WEAP شبیه‌سازی منابع و مصارف (شرب، کشاورزی و محیط زیست) موجود در دوره آماری (۲۰۰۶-۲۰۱۹) مورد بررسی قرار گرفت. به جهت بررسی اثرات هیدرولوژیکی تغییر اقلیم بر منابع آب سطحی، از مدل بارش‌رواناب IHACRES (V2.1) برای شبیه‌سازی رواناب دوره آبی رودخانه قره‌سو در محدوده روانسر سنجایی استفاده شد. در ادامه، به‌منظور بررسی اثر تغییر اقلیم روی منابع آب زیرزمینی، خروجی‌های مدل ریزمقیاس نمای LARS-WG تحت سناریوهای RCP 2.6، RCP 4.5 و RCP 8.5 برای بازه زمانی آبی ۲۰۲۱-۲۰۴۰ مورد استفاده قرار گرفتند. مدل LARS-WG با استفاده از آمار روزانه سال‌های ۱۹۸۶-۲۰۰۵ ایستگاه موردنظر اجرا گردید.

یافته‌ها: نتایج بخش برنامه‌ریزی خطی نشان دادند که در کلیه سناریوهای مدیریتی و اقلیمی، به جز محصولات پیاز، نخود دیم، باغ، سبزیجات و یونجه، بقیه محصولات از الگوی کشت منطقه حذف گردیدند. بیشترین تغییر مشاهده‌شده در جایگزینی نخود دیم به‌جای گندم دیم و پیاز به‌جای گندم آبی است. همچنین، تغییر الگوی کشت زراعی در دشت روانسر سنجایی با رعایت کلیه محدودیت‌های موجود در منطقه، در همه سناریوها، سبب افزایش سود تولید ($\bar{x} = ۳/۵۴$) نسبت به وضعیت موجود می‌شود. طبق نتایج شبیه‌سازی محدوده مورد مطالعه توسط نرم‌افزار WEAP، در طول دوره آماری (۲۰۰۶-۲۰۱۹) نیاز شرب به‌صورت کامل تأمین می‌گردد و نیاز کشاورزی محدوده در اغلب سال‌های دوره آماری با کمبود تأمین مواجه است که علت آن کاهش منابع آب سطحی رودخانه قره‌سو است. نتایج اثر تغییر اقلیم بر تراز آب زیرزمینی نشان دادند که در تمام ماه‌ها حدود ۲۰ الی ۶۰ سانتی‌متر کاهش داشت. بررسی نتایج میانگین ماهانه دمای حداقل در دوره پایه (۱۹۸۶-۲۰۰۵) و دوره آبی (۲۰۲۱-۲۰۴۰) نشان داد که مقدار دمای حداقل در دوره آبی نسبت به دوره پایه در مدل‌های پیش‌بینی اقلیمی HadGEM2-ES، CanESM2، و CSIRO-MK3-6-0 تحت هر سه سناریو (RCP2.6، RCP4.5 و RCP8.5) انتشار افزایش داشته است و همچنین میانگین ماهانه دمای حداکثر در تمامی ماه‌ها روند افزایشی داشته است که انتظار می‌رود دمای حداکثر افزایش بیشتری نسبت به دمای حداقل در دوره آبی (۲۰۲۱-۲۰۴۰) نسبت به دوره پایه داشته باشد. مطابق با نتایج ارزیابی بارش، در هر سه مدل اقلیمی منتخب، سناریو انتشار RCP8.5 بیشترین کاهش بارندگی و سناریو انتشار RCP2.6 کمترین کاهش بارندگی را دارند.

نتیجه‌گیری: با توجه به نتایج حاصل از سناریوهای اقلیمی تعریف‌شده در این پژوهش، می‌توان نتیجه گرفت که سیاست‌گذاران و مدیران منابع می‌توانند از این تحقیق به‌عنوان منبعی ارزشمند برای توسعه، بهره‌برداری و مدیریت پایدار منابع آب و خاک در چارچوب مدیریت جامع حوزه آبخیز بهره‌برداری نمایند. در نهایت، به‌منظور بهبود وضعیت آب زیرزمینی و افزایش حداکثری سود حاصل از کشاورزی، چندین سناریو با هدف کاهش برداشت از آبخوان و تثبیت منابع آب زیرزمینی تدوین شدند. نتایج شبیه‌سازی آب زیرزمینی توسط مدل MODFLOW برای دو سال از آبان ۸۹ تا آبان ۹۱ نشان می‌دهند که ادامه این روند موجب بحران‌های جدی خواهد شد. نتایج مدل یکپارچه نیز نشان می‌دهند که با ادامه وضع موجود ۱۵ تا ۲۵ درصد از نیازهای کشاورزی در ماه‌های خرداد تا شهریور تأمین نخواهند شد که در صورت لحاظ نمودن اثر تغییر اقلیم، این کمبود حدود ۱ تا ۳ درصد در طول بلندمدت بیشتر خواهد شد. نتایج بخش مدل بهینه‌سازی از آن بودند که در کلیه سناریوهای مدیریتی و اقلیمی، به‌جز محصولات پیاز، نخود دیم، باغ، سبزیجات و یونجه، بقیه محصولات از الگوی کشت منطقه حذف شوند. نتایج نشان می‌دهند که تغییر الگوی کشت زراعی در دشت روانسر سنجایی با رعایت کلیه محدودیت‌های موجود در منطقه، در همه سناریوها، سبب افزایش سود تولید نسبت به وضعیت موجود می‌شود. در صورت اجرای مدل بهینه‌سازی و کاهش برداشت از آبخوان از ۲۰ درصد تا ۵۰ درصد، کشاورزان می‌توانند به سود بیشتری نسبت به وضع موجود برسند. این نشان می‌دهد که برای دستیابی به کشاورزی پایدار، الگوی کشت منطقه نیازمند تغییرات است.

واژه‌های کلیدی: برنامه‌ریزی خطی، بهینه‌سازی، تغییر اقلیم، دشت روانسر سنجایی، مدل WEAP

مقدمه

منابع آب زیرزمینی نقش عمده‌ای در توسعه کشاورزی، صنعتی و بهداشتی دارند (Homayunpur *et al.*, 2022). در سال‌های اخیر، پیش‌بینی جریان در مدل‌های اقلیمی یکی از مسائل مهم در مدیریت منابع آب ایران است (Chubin *et al.*, 2024; Mehraban *et al.*, 2023). بهره‌برداری بیش از حد، به دلیل سهولت دستیابی به این منابع، باعث پایین آمدن سطح ایستابی در سفره آب و نابودی ذخایر زیرزمینی می‌گردد. از طرفی، آب اثرات معنی‌داری بر روی ثبات کشاورزی و تولید دارد. در کشورهای در حال توسعه، ثبات و استمرار رشد کشاورزی از عوامل عمده کمک‌کننده به ثبات اجتماعی و رشد اقتصادی به‌شمار می‌رود (Mohammadi *et al.*, 2016). لذا، کیفیت و کمیت آب نقش مهمی در میزان عملکرد محصول و رسیدن به امنیت غذایی و توسعه پایدار دارد (Sharp, 1998). از راه‌های افزایش راندمان مصرف و مدیریت آب در پایداری کشاورزی و نیاز آبی محصولات زراعی، در نظر گرفتن متغیرهای تأثیرگذار بر مصرف آب شامل نیاز آبی و میزان تبخیر و تعرق است (Abbasi *et al.*, 2016; Haddad *et al.*, 2025). پایداری کشاورزی به دنبال دسترسی به سه هدف کلی اقتصاد کشاورزی سالم، حفظ جامعه روستایی و حفظ محیط زیست است (Jamshidzadeh & Mirbagheri, 2011) که با استفاده بهینه از نهاده‌هایی نظیر آب ممکن می‌شود.

بازدهی مؤثر، تولید بهینه، پایداری آب زیرزمینی و تجدیدپذیری از جمله مفاهیمی هستند که در مدیریت سیستم‌های آب زیرزمینی مورد استفاده قرار می‌گیرند (Gau, 1998; Liu & Sharp, 2002). پیشگویی الگوی رفتاری تغییرات در سیستم‌های منابع آب، تحت تأثیر اعمال سیاست‌های بهره‌برداری می‌تواند بهره‌برداران این منابع را به منظور استفاده بهینه و بر اساس اصل توسعه پایدار یاری نماید. بهینه‌سازی مصرف و تخصیص منابع آب موجود از جمله راهکارهای مدیریت پایدار منابع آب هستند زیرا ترکیبی از دو تکنیک قدرتمند تجزیه و تحلیل، شامل شبیه‌سازی و بهینه‌سازی در تدوین معیارهای طراحی، فرآیند تصمیم‌گیری و مدیریت بهینه اقتصادی پروژه‌ها است (Haddad & Marino, 2011; Jamnani *et al.*, 2024). در بین عوامل مختلف در سال‌های اخیر، اثر تغییر اقلیم در کمبود منابع آب به نسبت دیگر عوامل پررنگ‌تر بوده است. بر اساس گزارش هیئت بین‌الدول تغییر اقلیم (IPCC)، روند تغییرات اقلیمی اثرات قابل توجهی بر سامانه‌های مختلف منابع آب، کشاورزی، شرب و صنعت دارد به طوری که افزایش انتشار گازهای گلخانه‌ای، اثرات این موارد را تشدید و آب و هوا را گرم‌تر خواهد کرد (Haddad *et al.*, 2025). مطالعات متعددی در زمینه تأثیرات بالقوه تغییر اقلیم بر منابع آب شامل تأثیر روی کمیت آب، هیدرولوژی و تقاضای آب انجام شده‌اند. افزایش دمای سطح زمین و تغییرات در الگوی بارندگی، پدیده‌های غالب در تغییر اقلیم هستند که این دو تقریباً تمام بخش‌های دیگر چرخه آب را تحت تأثیر قرار می‌دهند. بنا بر این، می‌توان گفت که علاوه بر برداشت‌های بی‌رویه از منابع آب

زیرزمینی، تغییرات وسیع اقلیمی نیز بر وضعیت منابع آب در دنیا تأثیر داشته‌اند و به‌طور معمول تکامل تدریجی پتانسیل آب زیرزمینی به‌طور کاملاً نزدیک به نوسانات بارش مرتبط است. همچنین، این موارد مدیریت این منابع را تحت تأثیر قرار می‌دهند که اثر منفی بر سطح آب زیرزمینی دارد (Meddi & Boucefiane, 2013) و همچنین تغییرات اقلیمی در مناطق آسیایی تأثیرات بیشتری دارند (Trenberth, 2001).

تغییرات اقلیمی می‌توانند به‌طور قابل توجهی بر فعالیت‌های اجتماعی-اقتصادی و کیفیت زندگی تأثیر بگذارند. مدل‌های اقلیمی نقش کلیدی در ارزیابی تأثیر تغییرات آب و هوایی و توسعه راهبردهای سازگاری و کاهش دارند (Aghajanjou *et al.*, 2024; Fathi & Sebet, 2019; Banihabib, & Najafi Marghmaleki, 2018). بنا بر این، به‌منظور برنامه‌ریزی صحیح بلندمدت و پایداری، تحلیل تأثیرات تغییر اقلیم نیز در چند دهه آینده بسیار حائز اهمیت خواهد بود. بیشتر آبخوان‌های ایران اکنون در وضعیت ممنوعه قرار دارند که دشت روانسرستجایی یکی از دشتهای حساس، ممنوعه و حاصل‌خیز در محدوده استان کرمانشاه است. با توجه به موارد مذکور، مدیریت بهینه منابع آب ضمن پایداری منابع آب زیرزمینی در این دشت، مستلزم کاهش تدریجی فشار بر منابع زیرزمینی است. دهقانی و همکاران (Dehghani *et al.*, 2022) با استفاده از مدل‌های اقلیمی، اثرات تغییر اقلیم بر تراز آب زیرزمینی خرم‌آباد ایران را برای دوره ۲۰۴۰-۲۰۲۱ ارزیابی کردند. براساس نتایج آن‌ها، تراز آب زیرزمینی آبخوان موردنظر در دوره آبی به‌میزان ۱ تا ۱/۵ متر افت خواهد داشت. کتابچی و همکاران (Ketabachi *et al.*, 2019) تغییرات تراز آب زیرزمینی کشور عراق را تحت اثر تغییر اقلیم مطالعه کردند و به این نتیجه رسیدند که تغییرات اقلیمی باعث افت ۱۳/۶ تا ۲۱/۲ درصدی تراز آب زیرزمینی عراق می‌شود. شاران و همکاران (Sharan *et al.*, 2023) در تحقیقی اثر تغییر اقلیم را بر تغییرات آب زیرزمینی در کشورهای جزیره اقیانوس آرام بررسی کردند. تجزیه و تحلیل‌ها نشان دادند که تغییر اقلیم موجب کاهش ۱۹ درصدی بارش و به‌تبع آن باعث کاهش ۳۷ درصدی تغذیه خالص می‌شود. دیانکومبا و همکاران (Diancoumba *et al.*, 2023) به پیش‌بینی تراز آب زیرزمینی منطقه‌ای در کشور مالی تحت اثر تغییر اقلیم پرداختند. بر اساس نتایج آن‌ها، تراز آب زیرزمینی تحت سناریوهای مختلف از ۰/۶۲ متر تا ۱/۹۳ متر کاهش می‌یابد. زینالی و همکاران (Zeynali *et al.*, 2023) در تحقیق خود تغییرات تغذیه آب زیرزمینی شیرامین را بر اثر تغییر اقلیم بررسی کردند. نتایج تحقیق آنها نشان دادند که با افزایش دما و کاهش بارندگی، میزان تغذیه در محدوده مورد نظر کاهش خواهد یافت.

نجفی و همکاران (Najafi *et al.*, 2022) با استفاده از سناریوهای گزارش پنجم اثر تغییر اقلیم را بر تغییرات آب زیرزمینی آبخوان ساحلی ساری نکا ارزیابی کردند. نتایج تحقیق آنها نشان دادند که با افزایش دما در بیشتر ماه‌های سال و تغییرات کم در دما، مقدار تراز آب زیرزمینی افزایش

علمی قرار دهد. نوآوری این پژوهش که آن را از مطالعات پیشین متمایز می‌سازد، تمرکز آن بر شناسایی و تحلیل وضعیت آبخوان به‌منظور ارزیابی تأثیر اجرای سناریوهای مدیریتی تحت شرایط تغییر اقلیم است. این مطالعه با بهره‌گیری از مدل یکپارچه منابع آب (WEAP)، که ابزاری جامع و انعطاف‌پذیر برای تحلیل سیاست‌های منابع آب محسوب می‌شود، به برنامه‌ریزی پایدار منابع آب در آبخوان‌ها با رویکردی یکپارچه می‌پردازد. از مهم‌ترین نوآوری‌های این پژوهش می‌توان به مدل‌سازی بیلان آب در شرایط تغییر اقلیم، بهینه‌سازی بهره‌برداری با در نظر گرفتن محدودیت‌های بهره‌برداران، و مقایسه وضعیت موجود و آتی با استفاده از مدل‌های برنامه‌ریزی ریاضی اشاره کرد. همچنین، منطقه مورد مطالعه (دشت روانسر سنجابی) از جمله پهنه‌های ممنوعه برداشت آب و واقع در ناحیه مرزی استان کرمانشاه است که تاکنون مطالعات جامعی در این زمینه در آن انجام نشده‌اند.

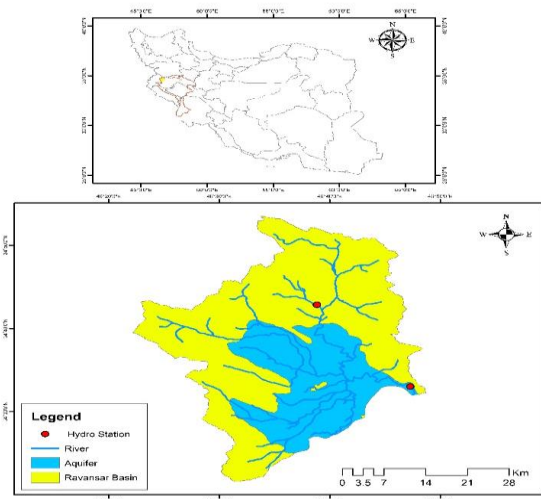
مواد و روش‌ها

معرفی منطقه

محدوده مطالعاتی روانسر سنجابی در غرب ایران و بین طول‌های جغرافیایی "۱۸° ۲۶' ۴۶" تا "۰۰° ۵۰' ۴۶" شرقی و عرض جغرافیایی "۰۰° ۲۵' ۳۴" تا "۵۰° ۴۸' ۳۴" قرار دارد (شکل ۱). مساحت آبخوان ۳۳۸ کیلومترمربع است که با ۲۳ حلقه چاه مشاهده‌ای که به‌طور مستمر و ماهیانه اندازه‌گیری می‌شود. این محدوده با ارتفاع متوسط ۱۳۲۰ متر از سطح دریا واقع شده است که دارای آب و هوای نیمه‌خشک تا نیمه‌مرطوب است. متوسط بارندگی و درجه حرارت سالانه منطقه به‌ترتیب ۵۰۷ میلی‌متر و ۱۴/۹ درجه سانتی‌گراد هستند. آبخوان روانسر سنجابی یک آبخوان آزاد است که دارای ضخامت حدود ۷۰ متر و هم‌چنین تراز سطح آب زیرزمینی بین ۱۳۱۷ تا ۱۳۵۲ متر از سطح آب‌های آزاد به‌ترتیب از بخش‌های جنوب‌غربی به بخش‌های شرقی در تغییر است. جریان سطحی اصلی این دشت رودخانه قره‌سو است (Kermanshah regional water report, 2021).

خواهد یافت. همایون پور و همکاران (Homayunpur et al., 2022) در ارزیابی خود از نوسانات آب زیرزمینی دشت برخوار اصفهان در اثر تغییر اقلیم نشان دادند که نسبت به دوره پایه، سطح ایستابی آب منطقه با شیب سالانه نزدیک به نیم‌متر در سال، روند کاهشی داشته است و در دوره ۲۰۸۰-۲۰۹۹ تحت اثر تغییرات اقلیمی، سطح آب زیرزمینی منطقه، بین ۱۵ تا ۱۷ متر نسبت به دوره پایه افت خواهد داشت.

در این پژوهش، به مدیریت تطبیقی و بهره‌برداری بهینه از منابع آب زیرزمینی در وضعیت کنونی و شرایط تغییر اقلیم پرداخته می‌شود. طبق اعلام کارشناسان شرکت آب منطقه‌ای استان کرمانشاه، دشت روانسر سنجابی یکی از دشت‌های حاصل‌خیز در محدوده استان کرمانشاه است که هم از لحاظ آب‌های سطحی (با توجه به منابع آب سطحی موجود) و هم از لحاظ آب زیرزمینی از غنای خوبی برخوردار است، ولی با توجه به ازدیاد جمعیت، بهره‌برداری غیر اصولی از منابع آب خاک و زیر کشت بودن این اراضی به‌صورت آبی و همچنین استفاده روزافزون از منابع آب زیرزمینی (به‌عنوان منبعی پایدار و قابل اطمینان)، گمان می‌رود که این آبخوان توانایی تأمین این تقاضاهای روزافزون را نداشته باشد (Soltani et al., 2023). با توجه به موارد مذکور، مدیریت بهینه منابع آب ضمن پایداری منابع آب زیرزمینی در این دشت، مستلزم کاهش تدریجی فشار بر منابع زیرزمینی است. لذا، این تحقیق در پی مدیریت بهینه منابع آب سطحی و زیرزمینی و اثرات تغییر اقلیم بر منابع آب دشت روانسر سنجابی است که خود نیازمند بررسی وضعیت کنونی و آینده نیز است. در یک جمع‌بندی کلی، می‌توان گفت که در زمینه تأثیر تغییر اقلیم بر بیلان آب زیرزمینی و اجرای مدل یکپارچه حوزه آبخیز در مدیریت منابع آب دشت روانسر سنجابی تحت شرایط تغییر اقلیم پژوهش خاصی صورت نگرفته است. لذا، بهینه‌سازی استحصال با در نظر گرفتن محدودیت‌های مرتبط با بهره‌برداران و مقایسه شرایط بهینه در وضعیت فعلی و شرایط تغییر اقلیم، امری ضروری است و این پژوهش سعی دارد تا با نگاه دقیق مدیریتی به این مقوله، سناریوهای مختلف را مورد بررسی

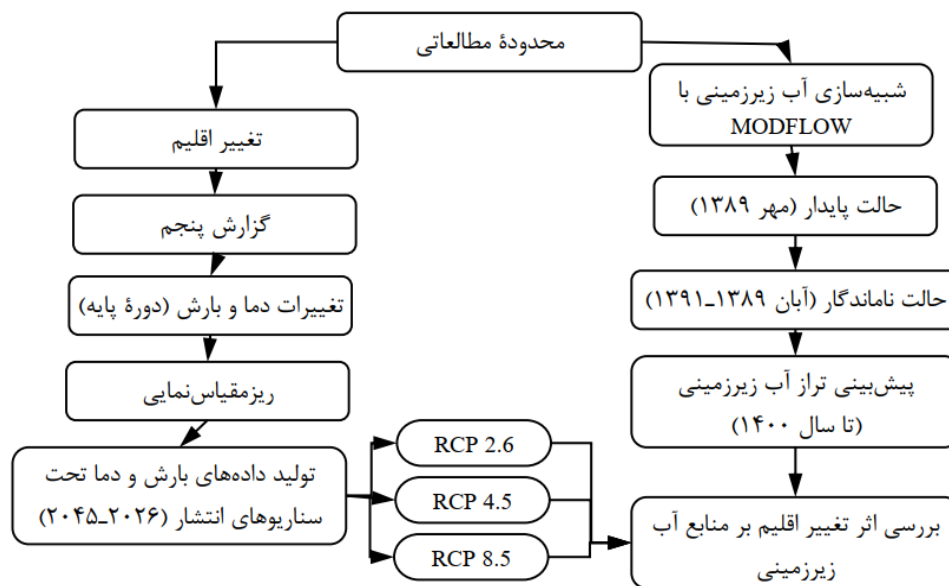


موقعیت منطقه مطالعه
Figure 1. Location of the study area

رواناب ماهانه منطقه مورد مطالعه در دوره آبی، مدل IHACRES توسط ضریب تعیین (R^2)، ضریب نش NS و Bias برای دوره ۲۰۰۷-۲۰۱۵ واسنجی شد و برای دوره ۲۰۱۶-۲۰۱۹ مورد صحت‌سنجی قرار گرفت. همچنین، با مقایسه داده‌های تاریخی مدل‌های اقلیمی با داده‌های مشاهده‌ای در دوره (۱۹۸۶-۲۰۰۵) و به کمک شاخص‌های عملکردی ضریب تبیین، ضریب نش، Bias و وزن‌دهی، مدل‌های اقلیمی مناسب برای این محدوده انتخاب شدند. R^2 بیانگر ارتباط داده‌های مشاهداتی و برآورد شده است. دامنه این پارامتر بین ۰ تا ۱ است، و هر چه این مقدار به ۱ نزدیک‌تر باشد نشان‌دهنده ارتباط قوی بین دو گروه است. شاخص NS هر چه به یک نزدیک‌تر باشد، مدل از دقت بیشتری برخوردار خواهد بود و دامنه آن از منفی بی‌نهایت تا ۱ است. BIAS هر چه به صفر نزدیک‌تر باشد نشان‌دهنده دقت بالاتر مدل در برآورد متغیر مورد نظر است. در صورتی که مقدار این پارامتر به سمت مثبت میل کند، نشان‌دهنده این است که متغیر مورد بررسی بسیار کمتر از مقدار واقعی برآورد شده است. اگر این پارامتر به سمت منفی میل کند، نشان می‌دهد که پارامتر مورد بررسی مقدار متغیر را بسیار بیشتر از مقدار واقعی برآورد کرده است. قابل ذکر است که برای این پارامتر آستانه خاصی در نظر گرفته نشده است.

فلوچارت تحقیق

مطابق شکل (۲)، این تحقیق در چهاربخش مختلف انجام شده است. در بخش یک شبیه‌سازی آب زیرزمینی توسط MODFLOW انجام گردید. در این بخش، وضعیت کمی آب زیرزمینی در دو حالت ماندگار (مهر ۱۳۸۹) و ناماندگار (در این تحقیق برای واسنجی مدل ۲۴ گام زمانی ماهانه و از آبان سال ۸۹ در نظر گرفته شده است) ساخته شد. از اطلاعات چاه‌های بهره‌برداری، چاه مشاهداتی، بارندگی و میزان تغذیه از منابع سطحی به آب زیرزمینی، توپوگرافی آبخوان و رقوم سنگ کف برای مدل‌سازی استفاده شده است. شبیه‌سازی یکپارچه محدوده توسط WEAP انجام شد که در آن تمام اطلاعات منابع آب و نیازهای آبی محدوده در نظر گرفته شد. در ادامه و در بخش سوم، تغییرات بارش و دما در آینده و مطابق گزارش پنجم برای دوره ۲۰۲۱-۲۰۴۰ توسط مدل منتخب انجام شدند. در این حالت، برای تولید داده‌های آینده از سه سناریوی گزارش پنجم RCP 2.6، RCP 4.5 و RCP 8.5 استفاده شد. ریزمقیاس‌سازی توسط Lars-GW انجام گردید. در نهایت، در بخش چهارم مدل بهینه‌سازی خطی برای به‌دست‌آوردن سطح زیرکشت بهینه تدوین گردید. به‌منظور برآورد میزان خطای واسنجی (۲۰۰۷-۲۰۱۵) و صحت‌سنجی (۲۰۱۶-۲۰۱۹) در مدل شبیه‌سازی WEAP از معیارهای عملکردی نش سانتکلیف (NS) و میانگین قدر مطلق خطای نسبی (MARE) استفاده شد. جهت شبیه‌سازی



شکل ۲- فلوچارت تحقیق
Figure 2. The research flowchart

۳. عمده تغذیه آبخوان ها از بارندگی و مقدار آب برگشتی از چاه های بهره برداری صورت می گیرد. حدود ۱۷ درصد از بارندگی در محدوده به عنوان تغذیه به آبخوان در نظر گرفته شده است (گزارش وزارت نیرو، ۲۰۱۰). در این تحقیق، از مهر سال ۱۳۸۹ به عنوان ماه و سال پایه و شروع مدل سازی استفاده شده است. همچنین، در این حالت مقادیر هدایت هیدرولیکی واسنجی می شوند. مدل ساخته شده و واسنجی شده در حالت ماندگار برای حالت ناماندگار استفاده می شود. در حالت ناماندگار حدود ۲۴ گام زمانی ماهانه و از آبان ۱۳۸۹ تا آبان ۱۳۹۱ در نظر گرفته شدند. در حالت ناماندگار، شرایط واقعی آبخوان تا حدودی در نظر گرفته می شود. در این حالت، گام های زمانی مختلفی در مقیاس ماهانه یا سالانه تدوین می گردند. برای هر گام زمانی نیز، مقادیر چاه های مشاهداتی، چاه بهره برداری، تغذیه آبخوان و سایر اطلاعات دیگر که نسبت به زمان متغیر هستند، تعیین می گردند. در این حالت، در هر گام زمانی نیاز است که مقادیر بین چاه مشاهداتی و شبیه سازی کنترل شوند. همچنین در حالت ناماندگار، مقادیر اولیه آب دهی ویژه به واسنجی نهایی می رسند. اگر مدل در حالت ناماندگار به کالیبره نهایی برسد، قابل استفاده برای اجرای سناریوهای مختلف مدیریتی است.

مدل سازی آب زیرزمینی

معادله اساسی جریان در محیط متخلخل، با در نظر گرفتن یک جزء حجم معرف سفره با ابعاد (ΔX) و (ΔY) (در جهت افقی) و (ΔZ) (در جهت عمودی) در شرایط ماندگار، بار هیدرولیکی نسبت به زمان تغییر نمی نماید؛ به عبارت دیگر، هیچ گونه تغییری در ذخیره آبخوان روی نمی دهد. از معادله لاپلاس (Laplace Equation) جهت شبیه سازی استفاده می شود:

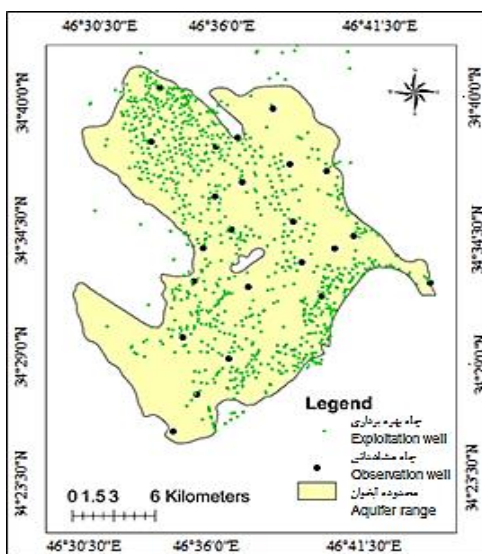
$$\frac{\partial^2 h}{\partial x^2} + \frac{\partial^2 h}{\partial y^2} + \frac{\partial^2 h}{\partial z^2} = 0 \quad (1)$$

معادله حاکم بر جریان آب زیرزمینی در حالت غیرماندگار، معادله (۲) است که یک معادله دیفرانسیل جزئی خطی است که حل آن، توزیع مکانی و زمانی بار پیزومتریک در آبخوان محبوس، غیرهمگن و ناهمسانگرد را نشان می دهد.

$$\frac{\partial}{\partial x} (K_x \frac{\partial h}{\partial x}) + \frac{\partial}{\partial y} (K_y \frac{\partial h}{\partial y}) + \frac{\partial}{\partial z} (K_z \frac{\partial h}{\partial z}) = S_s \frac{\partial h}{\partial t} \quad (2)$$

مدل مفهومی و شبیه سازی آبخوان روانسر سنجابی

در آبخوان روانسر- سنجابی، تعداد کل چاه های محدوده مطالعاتی در آخرین آماربرداری سراسری سال ۱۳۸۹، ۸۸۱ حلقه چاه با تخلیه ۲۷ میلیون متر مکعب در سال است (شکل

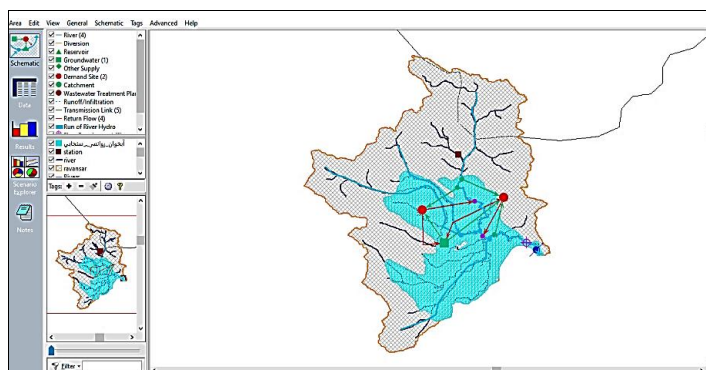


شکل ۳- جبهه‌های ورودی و خروجی آبخوان روانسرسنجایی
Figure 3. Inlet and outlet fronts of the Ravansar-Sinjabí aquifer

کشاورزی و محیط زیست به تفکیک و به ترتیب با اولویت نیاز شرب، محیط زیست و کشاورزی به مدل اضافه گردیدند. میزان برداشت از آب سطحی و زیرزمینی و مقدار آب برگشتی به منابع آب سطحی نیز براساس اطلاعات موجود در مدل شبیه‌سازی در نظر گرفته شدند (شکل ۴).

مدل‌سازی یکپارچه آب سطحی و زیرزمینی

اطلاعات به‌دست‌آمده از شبکه‌ی آبراهه‌های محدوده روانسر- سنجایی در محیط نرم‌افزار WEAP ترسیم گردید. طول دوره شبیه‌سازی با توجه به اطلاعات موجود ۱۴ سال (۲۰۰۶-۲۰۱۹) در نظر گرفته شد و وضعیت منابع و مصارف (کشاورزی، شرب و محیط زیست) موجود در طول این دوره مورد بررسی قرار گرفت. در ادامه، تمامی مصارف شرب،



شکل ۴- پیکربندی سامانه منابع آب محدوده روانسرسنجایی در نرم‌افزار WEAP
Figure 4. Configuring the water resources system of the Ravansar-Sinjabí area in WEAP software

بالا در تخمین روزانه مورد توجه بوده است (Mojarloo *et al.*, 2019). در این پژوهش، از نسخه IHACRES V2.1 استفاده شده است. رابطه‌های به کار رفته برای محاسبه بارندگی مؤثر به صورت زیر هستند:

$$\text{رابطه (۳)}$$

$$u_t = [c(\varphi_t - I)]^p \times R_t \quad t = 1, 2, 2, \dots$$

$$\text{رابطه (۴)}$$

$$\varphi_t = R_t + (1 - 1/\tau_t) \varphi_{t-1} \quad t = 1, 2, 3, \dots$$

$$\text{رابطه (۵)}$$

$$\tau_t = \tau_w \exp [0.062f(T_r - T_r)] \quad t = 1, 2, 3, \dots$$

شبیه‌سازی رواناب

IHACRES یک مدل پیوسته، یکپارچه و مفهومی به‌شمار می‌آید و برای شبیه‌سازی رواناب به داده‌های دما و بارش نیاز دارد. اساس این مدل از دو ماژول غیر خطی کاهش (Non-Linear Module) و ماژول خطی هیدروگراف واحد تشکیل می‌شود. مبنای این روش مدول غیرخطی تلفات و مدول خطی هیدروگراف واحد است. نحوه عملکرد مدل ارائه‌شده دارای دو بخش است: ابتدا دما (Tt) و بارندگی (Rt) در هر گام زمانی t توسط ماژول غیر خطی، به بارندگی مؤثر ut تبدیل شده، سپس به‌وسیله ماژول خطی هیدروگراف واحد به رواناب سطحی در همان گام زمانی تبدیل می‌شود. مدل IHACRES همواره به‌دلیل احتیاج به داده‌های کم و قدرت

محصول، B1 حجم آب قابل بهره‌برداری مطابق هر سناریو، B2 سطح کل اراضی، X13، X8، و X14 سطح اراضی باغی، سبزی‌کاری و یونجه‌کاری، و B3، B4 و B5 نیز به‌ترتیب حداقل سطح اراضی باغی، سبزی‌کاری و یونجه‌کاری هستند. مساحت کل اراضی قابل کشت دشت روانسر-سنجایی، ۸۹/۵۵۰ هکتار است. پس از محاسبه تولید، درآمد ناخالص و هزینه‌های کاشت، داشت و برداشت، سود خالص سالانه هر محصول به‌عنوان ضریب در تابع هدف مورد استفاده قرار گرفت. برای محدودیت دسترسی به آب، نیاز آبی محصولات مختلف به‌عنوان ضریب برای متغیرها مورد استفاده قرار گرفت. سایر محدودیت‌ها از نیز طریق پیمایش میدانی و مصاحبه چهره‌به‌چهره با کارشناسان در منطقه استخراج و توابع محدودیت نهایی شدند. شکل عمومی مسئله در دشت روانسر سنجایی به‌صورت رابطه (۱۴) است.

رابطه (۱۴)

$$\begin{aligned} \text{Max (Z)} = & 0.36 * X_1 + 0.34 * X_2 + 0.41 * X_3 \\ & + 2.25 * X_4 + 3.60 * X_5 + 1.23 * X_6 + 0.18 * X_7 \\ & + 0.9 * X_8 + 0.62 * X_9 + 0.84 * X_{10} \\ & + 0.59 * X_{11} + 0.29 * X_{12} + 2.49 * X_{13} + 0.53 * X_{14} \\ & + 0.08 * X_{15} + 0.05 * X_{16} + 0.18 * X_{17} \\ & + 0.17 * X_{18} \end{aligned}$$

با استفاده از اطلاعات ارائه‌شده در مطالعات کشاورزی دشت روانسر سنجایی، الگوی کشت منطقه به شرح جدول (۲) است. مساحت کل اراضی موجود در این منطقه ۸۹۵۵۰ هکتار است که اغلب آن به کشت گندم و نخود به روش دیم اختصاص داده شده است (AREEO, 2022). نیاز آبی محصولات الگوی کشت دشت روانسر سنجایی از اطلاعات ارائه‌شده در گزارشات جهاد کشاورزی منطقه استخراج گردید.

محدودیت‌های مدل بهینه‌سازی

محدودیت دسترسی به منابع آب: با وجود سناریوهای مختلف، در هر سناریو میزان آب در دسترس و قابل برنامه‌ریزی پایدار متفاوت است. لذا، در سمت راست معادله برای هر سناریو میزان آب در دسترس متفاوت است و براساس آن مدل بهینه‌سازی اجرا گردید. لذا محدودیت تعریف شده به شرح ذیل است:

رابطه (۱۵)

$$\begin{aligned} & 31 * X_1 + 2.6 * X_2 + 3.86 * X_3 + 7.42 * X_4 \\ & + 6.990 * X_5 + 8.69 * X_6 + 7.56 * X_7 + 7.87 * X_8 + 6.92 * X_9 \\ & + 9.64 * X_{10} + 6.92 * X_{11} + 2.6 * X_{12} + 8.08 * X_{13} \\ & + 9.66 * X_{14} \leq 152000 \end{aligned}$$

محدودیت سطح اراضی کل: مساحت کل اراضی قابل کشت در دشت روانسر سنجایی برابر ۸۹/۵۵۰ هکتار است (رابطه ۱۶).

رابطه (۱۶)

$$\begin{aligned} & X_1 + X_2 + X_3 + X_4 + X_5 + X_6 + X_7 + \\ & X_8 + X_9 + X_{10} + X_{11} + X_{12} + X_{13} + \\ & X_{14} + X_{15} + X_{16} + X_{17} + X_{18} \leq 89550 \end{aligned}$$

سطح اراضی باغی: این سطح در منطقه ۶۰۴ هکتار است و این اراضی از این میزان نمی‌توانند کمتر باشند زیرا

که در آن، u_t بارندگی مؤثر در دوره t پارامتر c پارامتر موازنه جرم، I پارامتر آستانه شاخص رطوبت خاک، p پارامتر واکنش غیرخطی، φ_t شاخص رطوبت خاک در دوره t نرخ خشکی مرجع، f عامل تعدیل دما، T_r دمای مرجع و T_t دما در دوره t هستند. بعد از محاسبه u_t در مدول غیرخطی، مقدار جریان در مدول خطی با استفاده از رابطه زیر محاسبه می‌شود:

$$\begin{aligned} Q_t = & a^q Q_{t-1} + b^q (u_{t-1}) + \\ & a^s Q_{t-1} + b^s (u_{t-1}) \quad t = 1, 2, 3, \dots \end{aligned} \quad (۶)$$

که در آن، Q_t و Q_{t-1} رواناب سطحی تولیدشده توسط مدل به‌ترتیب در دوره $t-1$ و t ، u_{t-1} بارندگی مؤثر در طول دوره $t-1$ و a^q و a^s نسبت مقدار جریان تولیدی در دوره بعدی به مقدار آن در همان دوره به‌ترتیب برای بخش‌های سریع و آهسته و b^q و b^s بارندگی مؤثر واحد به‌ترتیب برای بخش‌های سریع و آهسته، هستند.

تغییر اقلیم

LARS-WG مولد مصنوعی داده‌های آب و هوایی است که می‌تواند برای شبیه‌سازی داده‌های هواشناسی در یک مکان واحد تحت شرایط اقلیم حال و آینده به‌کار رود. خواص آماری داده‌های تولیدشده مشابه دوره آماری هستند. داده‌ها در سری‌های زمانی روزانه برای یک سری متغیرهای اقلیمی مناسب مثل بارش، دمای کمینه، بیشینه و تابش (مگاژول بر مترمربع) ایجاد می‌شوند. در این روش، با شبیه‌سازی داده‌های آب و هوایی در مقیاس محلی می‌توان مطالعات تغییر اقلیم را در یک ایستگاه انجام داد. یک مولد مصنوعی داده‌های آب و هوا می‌تواند به‌عنوان یک ابزار محاسبه‌ای ارزان در تولید سناریوهای تغییر اقلیم چندساله در مقیاس زمانی روزانه به‌کار رود.

تعیین الگوی بهینه با توجه به وضعیت منابع آبی و الگوی کشت

با توجه به کشت‌های مختلف موجود در منطقه، وضعیت منابع آبی، بهره‌برداری منابع آب و مسائل اقتصادی و اجتماعی حاکم، بررسی الگوی کشت موجود و تحلیل‌های اقتصادی سود و هزینه صورت می‌پذیرد. نتایج این بخش به‌عنوان ضرایب تابع هدف و نیز محدودیت‌های حاکم به‌عنوان توابع محدودیت فرمول‌بندی می‌گردند. پس از تهیه اطلاعات مورد نیاز برای حل مسئله و تعیین محدودیت‌های موجود در منطقه، مسئله بهینه‌سازی در محدوده روانسر سنجایی به‌صورت رابطه زیر فرمول‌بندی گردید.

$$\text{Max(Z)} = \sum_{i=1}^n C_{Bi} X_i \quad (۷)$$

$$CW_{Ui} \leq B1 \quad (۸)$$

$$X1 + X2 + \dots + X14 \leq B2 \quad (۹)$$

$$X_{13} \geq B3 \quad (۱۰)$$

$$X_8 \geq B4 \quad (۱۱)$$

$$X_{14} \geq B5 \quad (۱۲)$$

$$X_1, X_2, \dots, X_{18} \geq 0 \quad (۱۳)$$

که در آن Z درآمد خالص سالانه، X_i و C_{Bi} و CW_{Ui} به‌ترتیب مساحت زیرکشت، درآمد خالص و نیاز آبی هر

$$MAPE = \frac{1}{n} \sum_{i=1}^n \left| \frac{x_o - x_p}{x_n} \right| \quad \text{رابطه (۲۲)}$$

$$R^2 = 1 - \frac{\sum_{i=1}^n (x_p - x_o)^2}{\sum_{i=1}^n (x_o - x_o)^2} \quad \text{رابطه (۲۳)}$$

$$MAE = \frac{\sum_{i=1}^n |x_o - x_p|}{n} \quad \text{رابطه (۲۴)}$$

$$\text{رابطه (۲۵)}$$

$$CC = \frac{\sum_{j=1}^{N_s} ((x_o) - (\bar{x}_p))((x_p) - (\bar{x}_o))}{\sqrt{\sum_{j=1}^{N_s} ((x_o) - (\bar{x}_o))^2 \sum_{j=1}^{N_s} ((x_p) - (\bar{x}_p))^2}}$$

بعد از ساخت مدل مفهومی، در ادامه مدل آب زیرزمینی ابتدا در حالت پایدار اجرا گردید. شکل (۵) وضعیت چاه‌های مشاهداتی را بعد از واسنجی در حالت ماندگار و تراز آب زیرزمینی نشان می‌دهد. ملاحظه می‌گردد که تمام چاه‌های مشاهداتی موجود در آبخوان دارای رنگ سبز هستند و تطابق خوبی بین مقادیر مشاهداتی و شبیه‌سازی شده وجود دارد. بیشترین تراز آب زیرزمینی در شمال غرب آبخوان قرار دارد. جنوب آبخوان محل خروجی آب زیرزمینی نیز داری کمترین تراز آب زیرزمینی است. مقدار ضریب تبیین آن نیز حدود ۰/۹۸۹ است که حاکی از دقت مناسب مدل از نظر معیار ارزیابی ضریب تبیین است. مدل ساخته شده علاوه بر دقت‌چشمی و رگرسیونی توسط معیارهای ارزیابی خطا نیز کنترل می‌گردد که مقادیر ۰/۸۷ و ۰/۷۴ به ترتیب برای RMSE و MAE بیان‌گر شبیه‌سازی مناسب مدل‌سازی هستند.

به‌علت بهره‌دهی مناسب، مردم منطقه تمایلی به تغییر این کاربری ندارند (رابطه ۱۷). سطح اراضی سبزی‌کاری: این کشت در منطقه ۱۸۱ هکتار است و این اراضی از این میزان می‌زان نمی‌توانند کمتر باشند، زیرا در حال حاضر به‌علت بهره‌دهی مناسب و چندساله بودن برخی از گونه‌های کشت‌شده، مردم منطقه تمایلی به تغییر این کاربری ندارند (رابطه ۱۸). سطح اراضی یونجه‌کاری: سطح اراضی زیر کشت یونجه در منطقه ۹۵ هکتار است و این اراضی از این میزان نمی‌توانند کمتر باشند زیرا در حال حاضر به‌علت چندساله بودن و بهره‌دهی مناسب، مردم منطقه تمایلی به تغییر این کاربری ندارند (رابطه ۱۹).

$$X_{13} \geq 604 \quad \text{رابطه (۱۷)}$$

$$X_9 \geq 181 \quad \text{رابطه (۱۸)}$$

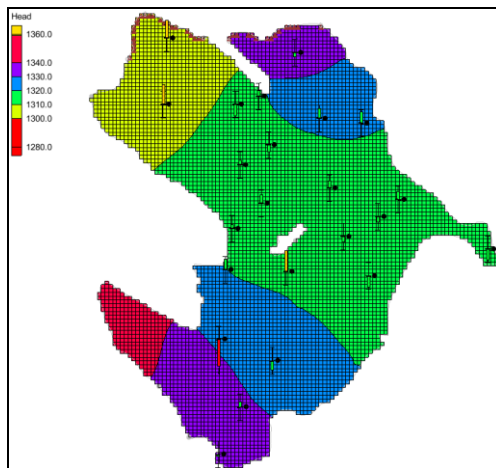
$$X_{14} \geq 95 \quad \text{رابطه (۱۹)}$$

محدودیت غیر منفی بودن متغیرها: در شرایط مدل برنامه‌ریزی خطی، سطح اختصاص‌یافته به هر کاربری نباید منفی باشد (رابطه ۲۰). معادله برآورد انواع خطاهای قابل محاسبه در تحقیق نیز به ترتیب در روابط (۲۱)، (۲۲)، (۲۳)، (۲۴) و (۲۵) ارائه شده‌است.

رابطه (۲۰)

$$X_1, X_2, X_3, X_4, X_5, X_6, X_7, X_8, X_9, \dots \geq 0$$

$$RMSE = \sqrt{\frac{\sum_{i=1}^n (x_o - x_p)^2}{n}} \quad \text{رابطه (۲۱)}$$

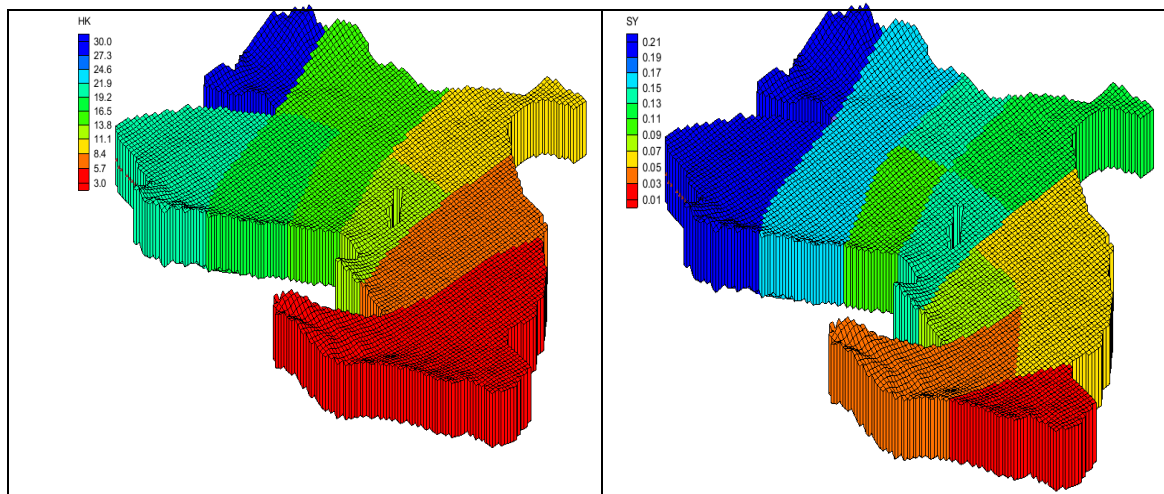


شکل ۵- تراز آب زیرزمینی شبیه‌سازی شده در حالت ماندگار و وضعیت چاه‌های مشاهداتی بعد از کالیبره کردن مدل
Figure 5. The Simulated Groundwater Level in the Persistent State and the Observed Condition of Wells after Model Calibration

است که ریزدانه‌ها تشکیل‌دهنده ساختمان آبخوان هستند. شکل (۶)، مقادیر آبدی ویژه واسنجی شده محدوده مطالعاتی را نشان می‌دهد. مقادیر آبدی ویژه کالیبره شده بین ۱/۹ درصد تا ۲۲ درصد متغیر هستند که بیشترین مقادیر آن به ناحیه جنوب‌غربی آبخوان تعلق دارند. جنوب‌شرقی آبخوان نیز دارای کمترین مقادیر آبدی ویژه است. مقادیر آبدی ویژه در مرکز آبخوان از ۸/۵ درصد تا ۱۳ درصد متغیر هستند. با این

با ارجاع به شکل (۶)، مشخص است که در شمال آبخوان، هدایت هیدرولیکی مقادیری بین ۵۲ تا ۳۰ متر در روز را دارا است. بیشترین مقدار آن نیز در قسمت جنوب شرقی آبخوان است که مقادیر آن از ۱۶/۵ تا ۲۹ متر در روز متغیر هستند. ناحیه مرکزی آبخوان نیز دارای مقادیر متوسط هدایت هیدرولیکی است که از ۸ تا ۱۲ متر در روز متغیر است. لذا بیشترین هدایت هیدرولیکی در این ناحیه مشاهده می‌شود. کمترین مقدار هدایت هیدرولیکی نیز مربوط به انتهای آبخوان

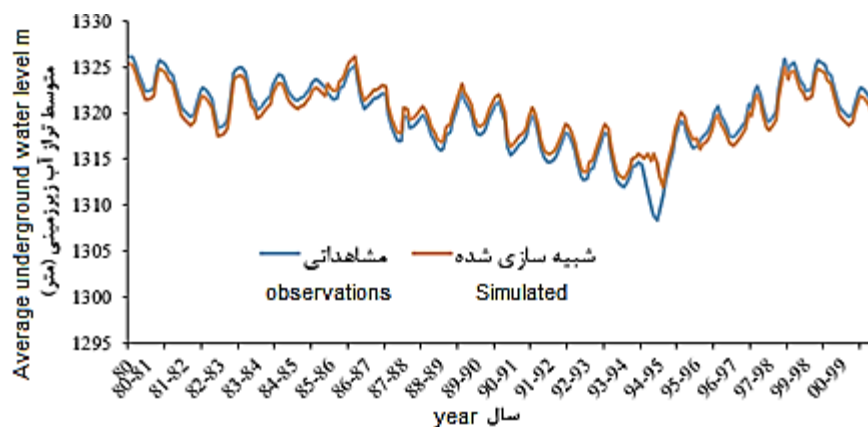
وجود، مقادیر آبدهی ویژه همواره با گزارش های زمین شناسی منطقه هم خوانی دارند.



شکل ۶- مقادیر کالیبره شده هدایت هیدرولیکی آبخوان
Figure 6. Calibrated values of the hydraulic conductivity of the aquifer

مختلف به خوبی تخمین زده شده اند. همچنین، در طول دوره مورد بررسی تراز آب زیرزمینی دارای نوسانات نسبتاً زیادی بود که در برخی از سالها مانند سال های ۱۳۸۷-۱۳۹۴ افت آب زیرزمینی اتفاق افتاد اما از سال ۱۳۹۵-۱۳۹۹ تراز آب زیرزمینی افزایش یافته.

در نهایت، شبیه سازی تراز آب زیرزمینی برای یک دوره ۲۰ سال (از ۱۳۸۰ تا ۱۴۰۰) برای مدل ساخته شده توسعه داده شد (شکل ۷) تا بتوان اثر تغییر اقلیم را بر تغییرات تراز آب زیرزمینی را ارزیابی نمود. مطابق شکل مذکور، مشخص است که تراز آب زیرزمینی توسط کد MODFLOW به خوبی شبیه سازی شده است و نوسانات آب زیرزمینی در ماه های



شکل ۷- تراز آب زیرزمینی شبیه سازی شده (۱۳۸۰-۱۴۰۰)
Figure 7. The Simulated Groundwater Level (2001-2021)

انتخاب شدند. مدل های اقلیمی HadGEM2-ES، CanESM2 و CSIRO-MK3-6-0 در بین ۲۰ مدل موجود، به ترتیب با رتبه های ۱۷/۲۵ و ۱۵/۵ بالاترین مقدار رتبه بندی را دارند و به عنوان بهترین مدل ها در این پژوهش انتخاب شدند.

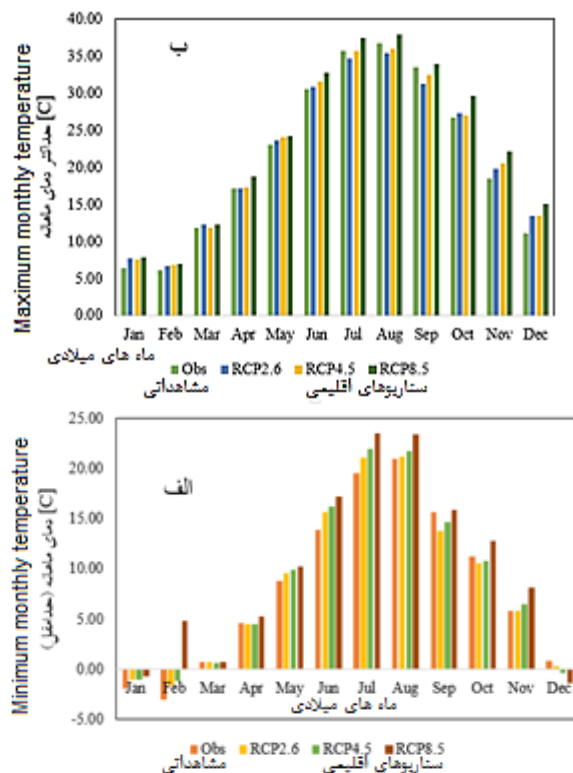
برای تولید داده های اقلیمی برای دوره های آتی، ابتدا داده های روزانه بارش، دمای حداکثر و حداقل ایستگاه سینوپتیک روانسر جهت تجزیه و تحلیل به نرم افزار LARS-WG وارد شدند. سپس، با توجه به خصوصیات آماری داده های مشاهداتی متغیرهای بارش، دمای حداکثر و حداقل روزانه برای دوره آتی با توجه به سناریوی اقلیمی

نتایج حاصل از تغییر اقلیم

نتایج حاصل از مدل های اقلیمی از گزارش پنجم توسط مدل LARS-WG ریزمقیاس شده قابل مشاهده هستند. برای انتخاب مدل ها، باید مقایسه ای بین داده های مشاهداتی و داده های تولید شده توسط مدل های بزرگ مقیاس انجام شود. در این پژوهش، ابتدا براساس مطالعات انجام شده، ۲۰ مدل که هر ۳ سناریو RCP2.6، RCP4.5 و RCP8.5 را دارا بودند استفاده شدند. بر اساس معیارهای ارزیابی خطا، ۲۰ مدل اقلیمی، با داده های مشاهداتی مطابق جدول زیر به دست آمدند. در نهایت، مدل های مناسب برای ارزیابی چگونگی تغییرات دما و بارش در دوره آینده در منطقه مورد مطالعه

دوره آتی (۲۰۲۱-۲۰۴۰) افزایش خواهد یافت. همچنین در اغلب ماه‌ها، افزایش دمای حداقل مشاهده می‌شود. به‌طور کلی، این نتایج نشان از گرم‌تر شدن محدوده مورد مطالعه در دوره آتی دارند. از مقایسه نمودارهای دمای حداقل و حداکثر انتظار می‌رود که دمای حداکثر افزایش بیشتری نسبت به دمای حداقل در دوره آتی (۲۰۲۱-۲۰۴۰) نسبت به دوره پایه داشته باشد. نتایج این تحقیق با نتایج پژوهش پیشین (Shahoei *et al.*, 2020) که به ارزیابی تأثیر تغییر اقلیم جهانی بر داده‌های اقلیمی در حوضه روانسر سنجابی استان کرمانشاه پرداخته است همسو هستند که نشان از صحت نتایج این تحقیق دارد. شکل (۸) تغییرات دمایی بر اساس سناریوهای اقلیمی را نشان می‌دهد.

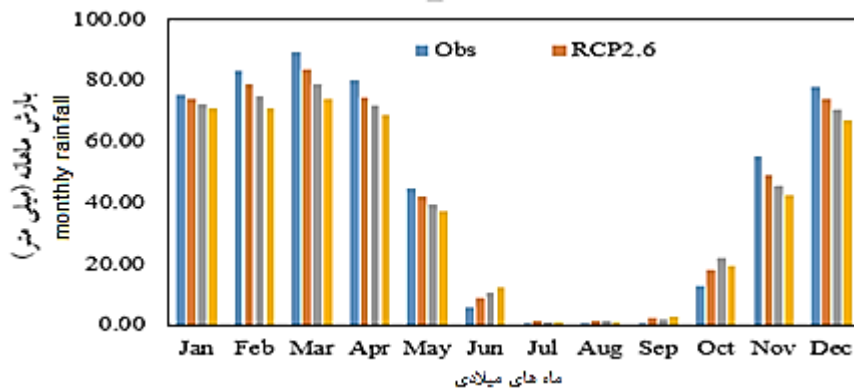
ساخته شده برای مدل منتخب (HadGEM2-ES) تحت هر سه سناریوی انتشار RCP (RCP2.6, RCP4.5 و RCP8.5) تولید شدند. بررسی نتایج میانگین ماهانه دمای حداقل در دوره پایه (۱۹۸۶-۲۰۰۵) و دوره آتی (۲۰۲۱-۲۰۴۰) نشان می‌دهد که مقدار دمای حداقل ماهانه در دوره آتی نسبت به دوره پایه در مدل پیش‌بینی اقلیمی HadGEM2-ES، تحت هر سه سناریو انتشار افزایش نسبی داشته است که مقدار آن در حد ۰/۱ تا ۰/۹۱ درجه سانتی‌گراد بوده است که این افزایش معنی‌دار نبوده است. همچنین، سایر نتایج نشان می‌دهند که در مدل اقلیمی HadGEM2-ES، میانگین سالانه دمای حداقل تحت سناریو انتشار RCP8.5، حداکثر ۰/۹۱ درجه سانتی‌گراد و در سناریو RCP2.6، ۰/۲۹ درجه سانتی‌گراد در



شکل ۸- تغییرات دمای حداقل و حداکثر در دوره آتی تحت تأثیر سناریوهای مختلف اقلیمی، الف) دمای حداقل، ب) دمای حداکثر
Figure 8. Minimum and maximum temperature changes in the future period under the influence of different climatic scenarios: a) Minimum Temperature b) Maximum Temperature

GCMs و نرم‌افزار LARS-WG به‌عنوان یک مولد آب و هوایی عملکرد خوبی را در پیش‌بینی دمای ماهانه و سالانه در ایران از خود نشان دادند (شکل ۹).

نتایج نشان می‌دهند که سناریو انتشار RCP8.5، بیشترین کاهش بارندگی و سناریو انتشار RCP2.6، کمترین کاهش بارندگی را نشان می‌دهند. لازم به ذکر است که مدل‌های

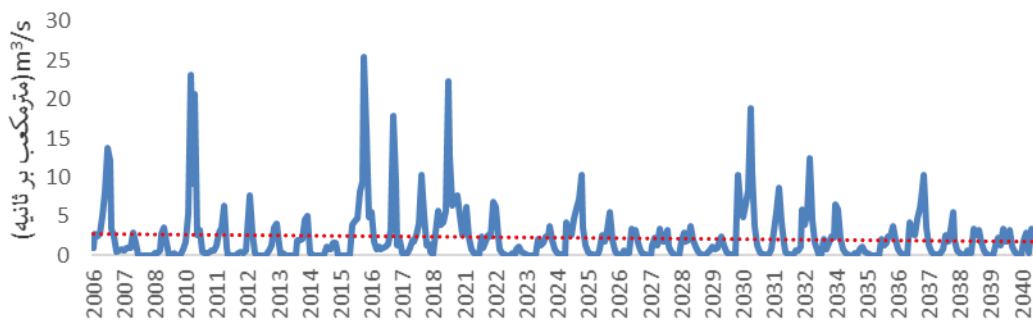


شکل ۹- تغییرات بارش ماهانه در دوره آتی تحت تأثیر سناریوهای مختلف اقلیمی
Figure 9. Changes in monthly precipitation in the future period affected by different climatic scenarios

گردید. میزان رواناب رودخانه قره‌سو طی دوره آتی در اغلب ماه‌ها روند کاهشی دارد که با در نظر گرفتن کاهش بارندگی در دوره آتی نتیجه قابل‌قبولی است. همچنین، نتایج نشان می‌دهند که مدل IHACRES قادر به تشخیص دبی‌های پیک یا سیلابی نیست و به‌همین دلیل در ماه‌های آوریل و می که رودخانه قره‌سو گاهاً سیلابی است، اختلاف رواناب دوره آتی با دوره مدل‌سازی قابل‌توجه است. در مجموع، نتایج نشانگر از روند کاهشی میانگین آورد سالانه رودخانه قره‌سو نسبت به دوره پایه هستند. نتایج به‌دست آمده برای مدل مذکور با نتایج پژوهش‌های صورت گرفته بر روی رودخانه قره‌سو و شبیه‌سازی رواناب با مدل IHACRES مطابقت دارند (Bayatikhatibi et al., 2024; Zarei et al., 2021). در گام بعد، نتایج شبیه‌سازی رواناب در دوره آتی به‌عنوان ورودی مدل WEAP در نظر گرفته می‌شوند تا مدیریت و تخصیص مصارف در محدوده روانسر برای دوره ۲۰۲۱-۲۰۴۰ مورد بررسی و ارزیابی قرار گیرد (شکل ۱۰).

پیش‌بینی رواناب دوره آتی تحت تأثیر سناریوهای تغییر اقلیم

جهت شبیه‌سازی رواناب ماهانه منطقه مورد مطالعه در دوره آتی، در ابتدا مدل IHACRES برای دوره ۲۰۰۷-۲۰۱۵ و استنجدی شد و برای دوره ۲۰۱۶-۲۰۱۹ مورد صحت‌سنجی قرار گرفت. نتایج نشان دادند که دوره و استنجدی با ضریب تعیین (R^2) برابر ۰/۷۵ و ضریب نش NS برابر ۰/۶۷ و Bias برابر ۰/۱۷ متر مکعب بر ثانیه عملکرد قابل‌قبولی داشت. همچنین، نتایج دوره صحت‌سنجی نشان‌دهنده عملکرد قابل‌قبول این مدل در شبیه‌سازی رواناب رودخانه قره‌سو هستند. با توجه به نتایج به‌دست‌آمده، می‌توان گفت که مدل و استنجدی‌شده برای حوزه، به‌طور کلی جریان‌های کم را به‌خوبی شبیه‌سازی می‌کند، اما در شبیه‌سازی جریان‌های حداکثر، در بعضی از سال‌ها ناتوان بوده است و مقادیر کمتری را پیش‌بینی کرده است. پس از و استنجدی مدل IHACRES سری زمانی ماهانه دما و بارندگی دوره آتی ۲۰۲۱-۲۰۴۰ (با توجه به هدف مطالعه حاضر) به مدل معرفی شد و سری زمانی ماهانه رواناب رودخانه قره‌سو در دوره آتی شبیه‌سازی



شکل ۱۰- رواناب شبیه‌سازی‌شده رودخانه قره‌سو توسط مدل IHACRES
Figure 10. Simulated runoff of the Qarasu River by the IHACRES model

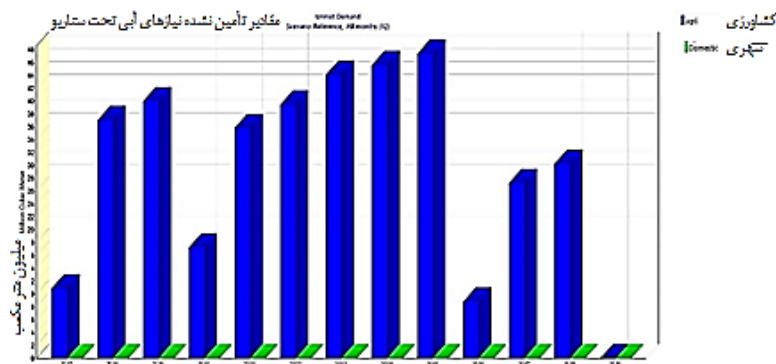
جمع‌آوری شده، تمامی منابع و مصارف اعم از دبی سرشاخه رودخانه قره‌سو و سایر رودخانه‌ها، نیازهای کشاورزی، شرب، منابع آب زیرزمینی، لینک‌های برداشت و آب برگشتی به تفکیک وارد مدل WEAP گردیدند. مدل شبیه‌سازی شده برای بالابردن دقت و کاهش خطای شبیه‌سازی، مورد

شبیه‌سازی، و استنجدی و اعتبارسنجی مدل WEAP در شرایط موجود

برای مدل‌سازی محدوده مطالعاتی در شرایط موجود، دوره آماری ۲۰۰۶-۲۰۱۹ به‌مدت ۱۴ سال به‌عنوان دوره شبیه‌سازی در نظر گرفته شد. با توجه به اطلاعات و داده‌های

محدوده در اغلب سال‌های دوره آماری به مقدار قابل توجهی تأمین نمی‌گردد و حداکثر آن در سال‌های (۲۰۱۱-۲۰۱۵) است که علت آن کاهش منابع آب سطحی رودخانه قره‌سو است. وابستگی کشاورزی محدوده روانسر سنجابی به منابع آب سطحی رودخانه قره‌سو باعث گردیده است تا در سال‌هایی که کاهش رواناب مشاهده می‌شود، تأمین نیاز کشاورزی با مشکل روبه‌رو گردد. نتایج نشان می‌دهند که به دلیل کمبود منابع آبی رودخانه قره‌سو در فصل تابستان پوشش نیاز کشاورزی با کمبود تأمین مواجه است. کاهش منابع آب سطحی رودخانه قره‌سو بر تأمین حقایق زیست‌محیطی رودخانه نیز اثرگذار است و همچنین نتایج جدول (۱۱) نشان می‌دهند که در اواخر فصل بهار و در فصل تابستان نیاز زیست‌محیطی رودخانه قره‌سو به‌صورت کامل تأمین نمی‌گردد.

واسنجی و صحت‌سنجی قرار گرفت. به‌منظور برآورد میزان خطای واسنجی و صحت‌سنجی، مقادیر رواناب محاسباتی توسط مدل با مقادیر مشاهداتی ایستگاه هیدرومتری دوآب مرگ به‌کمک شاخص‌های (NS) و (MARE) (Mean Absolute Relative Error) مورد مقایسه قرار گرفتند. با توجه به نتایج ارائه‌شده در مطالعات گذشته در ارتباط با شاخص MARE و NS و مقایسه آن با پژوهش حاضر، می‌توان گفت که نتایج ارائه شده از واسنجی و صحت‌سنجی مدل WEAP قابل‌قبول هستند (Haddad et al., 2021; Banihabib et al., 2019). نتایج شبیه‌سازی محدوده مورد مطالعه توسط نرم‌افزار WEAP نشان می‌دهند (شکل ۱۱) که در طول دوره آماری ۲۰۱۹-۲۰۰۶ نیاز شرب در طول دوره آماری به‌صورت کامل تأمین می‌گردد و نیاز کشاورزی

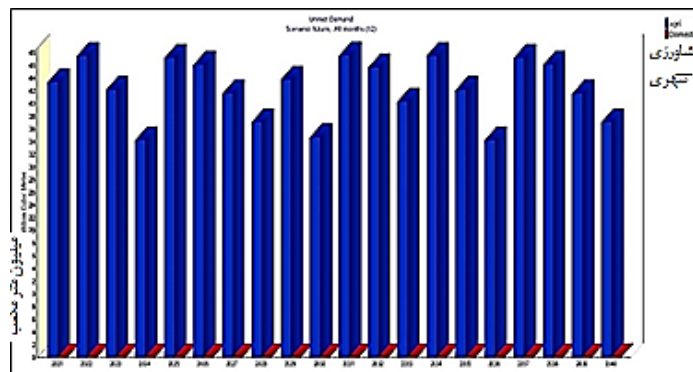


شکل ۱۱- مقادیر تأمین نشده نیازهای محدوده مطالعاتی در شرایط موجود (mcm)
Figure 11. Unmet values of the study area need in current conditions (mcm)

بررسی شرایط منابع و مصارف محدوده مطالعاتی در دوره آتی (۲۰۲۱-۲۰۴۰) تحت مدل بهینه

نتایج شکل (۱۲) نشان می‌دهند که در دوره آتی کمبود منابع آبی برای تأمین نیاز کشاورزی محدوده مطالعاتی به نسبت شرایط موجود در وضعیت بدتری قرار دارد. عدم تأمین نیاز کشاورزی محدوده در طول دوره آتی کاملاً مشهود است. همچنین، درصد پوشش نیازهای محدوده طی ماه‌های مختلف (جدول ۱) نشان می‌دهد که در دوره آتی به نسبت شرایط موجود کاهش چشمگیری رخ خواهد داد که این موضوع در فصل بهار و تابستان کاملاً مشخص است.

با این حالت، درصد پوشش نیازهای محدوده مطالعاتی در بخش کشاورزی بین ۸۷ تا ۱۰۰ درصد تأمین شده است. در بخش شرب، ۱۰۰ درصد نیازها در همه ماه‌ها تأمین شده است اما درصد زیادی از نیاز زیست‌محیطی تأمین نشده است که از ۷۶ درصد تا ۸۵ درصد در ماه‌های مختلف متغیر است. بیشترین عدم تأمین نیاز آبی زیست‌محیطی در ماه اگوست بود که در آن حدود ۲۵ درصد از نیاز آبی تأمین نشده بود. این مقدار در کشاورزی حدود ۱۵ درصد و در ماه اکتبر است.



شکل ۱۲- مقادیر تأمین نشده نیازهای محدوده مطالعاتی در دوره آتی (۲۰۲۱-۲۰۴۰)
Figure 12. Unmet values of study range requirements in the future period (2021-2040)

برنامه ریزی خطی موجود مدل سازی و اجرا گردید. مسئله برنامه ریزی خطی موجود برای سه سناریوی مدیریتی و سه سناریوی اقلیمی مدل سازی و اجرا گردید. با مشاهده نتایج ارائه شده در جدول (۱)، مشخص گردید که در کلیه سناریوهای مدیریتی و اقلیمی، به جز محصولات پیاز، نخود دیم، باغ، سبزیجات و یونجه، بقیه محصولات از الگوی کشت منطقه حذف گردیدند. بیشترین تغییر مشاهده شده در جایگزینی نخود دیم به جای گندم دیم و پیاز به جای گندم آبی است. محصولات باغی، سبزیجات و یونجه نیز به دلیل محدودیت های موجود در حداقل خود باقی مانده اند. همچنین، نتایج نشان می دهند که در سناریوهای مختلف میزان سود حاصل از بهینه سازی مثبت بوده است.

نتایج نشان می دهند که با اجرای الگوی کشت بهینه در منطقه، مقادیر نیاز تأمین نشده در سال کاهش قابل توجهی داشته اند. در مجموع، کاهش رواناب رودخانه قره سو علاوه بر بخش کشاورزی، تأمین نیاز زیست محیطی رودخانه را نیز با مشکل مواجه می کند که این امر می تواند اکوسیستم رودخانه را با چالش مواجه کند. با ارائه نتایج شبیه سازی دوره آبی در این بخش، مشخص گردید که تغییرات اقلیمی می تواند اثرات مخربی بر بخش کشاورزی و محیط زیست منطقه داشته باشند. از این رو، ارائه راهکارهایی برای مقابله با این پدیده می تواند تا حدودی باعث کاهش اثرات آن گردد.

به منظور دستیابی به مناسب ترین وضعیت سطح کشت اراضی در راستای رسیدن به اهداف تحقیق با استفاده از روش سیمپلکس و به کمک نرم افزار Lingo نسخه ۱۱، مسئله

جدول ۱- توزیع سطح کشت محصولات در وضعیت موجود و شرایط بهینه سناریوهای مدیریتی (هکتار)

Table 1. Distribution of the crop cultivation area in the current situation and optimal conditions of management scenarios (ha)

الگوی کشت بهینه		الگوی کشت بهینه				وضعیت موجود Existing situation	محصولات Products	ردیف Row	
ثبات سطح ایستایی Stable level stability	کاهش ۲۰ درصدی شدت افت %20 reduction in drop intensity	کاهش ۵۰ درصدی شدت افت %50 reduction in drop intensity	RCP8.5	RCP4.5	RCP2.6				شرایط موجود Existing conditions
-	-	-	-	-	-	-	گندم آبی Water wheat	1	
-	-	-	-	-	-	-	جو آبی Water grain	2	
-	-	-	-	-	-	-	نخود آبی Water peas	3	
-	-	-	-	-	-	-	سیب زمینی Potato	4	
12729.2	16305.8	14159.8	16792.2	17664.6	18535.6	20712	پیاز Onion	5	
-	-	-	-	-	-	-	گوجه Tomato	6	
-	-	-	-	-	-	-	شیدر Clover	7	
181	181	181	181	181	181	181	سبزیجات Vegetables	8	
-	-	-	-	-	-	-	ذرت دانه ای Grain corn	9	
-	-	-	-	-	-	-	چغندر قند Sugar beet	10	
-	-	-	-	-	-	-	ذرت علوفه ای Fodder corn	11	
-	-	-	-	-	-	-	کلزا Canola	12	
604	604	604	604	604	604	604	باغ Garden	13	
95	95	95	95	95	95	95	یونجه Hay	14	
-	-	-	-	-	-	-	گندم دیم Dry wheat	15	
-	-	-	-	-	-	-	جو دیم Dry Grain	16	
75940.7	72364.2	74510.1	71877.8	71005.1	70132.4	67958	نخود دیم Dry peas	17	
-	-	-	-	-	-	-	عدس دیم Lentils	18	
							20413.697	میزان سود کل Amount of total profit	

افزایش سود تولید نسبت به وضعیت موجود می شود. از همه مهم تر این که حتی در سناریوی دستیابی به سطح ایستایی اولیه آب زیرزمینی که شاید سال ها طول بکشد، باز هم میزان

بررسی و دقت در جدول (۲) نشان می دهد که تغییر الگوی کشت زراعی در دشت روانسر- سنجایی با رعایت کلیه محدودیت های موجود در منطقه، در همه سناریوها، سبب

سود، از سود تولید در وضعیت موجود و با این حجم اضافه برداشت، بیشتر است و این نشان می‌دهد که برای دستیابی به کشاورزی پایدار، الگوی کشت منطقه نیازمند تحقیق و پژوهش بیشتر است. جلیلی و همکاران نیز مدیریت تخصیص منابع آب، کنترل سطح زیرکشت محصولات با نیاز آبی بالا و بهینه‌سازی تولید پایدار مبتنی بر وضعیت منابع آب را راهکارهای برون‌رفت از این وضعیت و دستیابی به پایداری نسبی در کشاورزی ذکر کردند (Jalili & Moradi, 2016)

جدول ۲- نسبت سود حاصل از اجرای الگوی کشت بهینه در سناریوهای مختلف به وضعیت موجود

Table 2. The profit ratio from the implementation of optimal cropping patterns in different scenarios to the current situation

سناریو Scenario	وضعیت موجود Existing situation	RCP2.6	RCP4.5	RCP8.5	کاهش ۵۰ درصدی شدت افت %50 reduction in drop intensity	کاهش ۲۰ درصدی شدت افت %20 reduction in drop intensity	ثبات سطح ایستایی Stable level stability
سود کل (میلیارد ریال) Total profit	20413.69	81069.20	78091.76	75107.13	66104.56	73443.6	61211.8
نسبت به وضعیت موجود Relative to the existing situation	1	3.97	3.83	3.67	3.23	3.59	2.99

نتیجه‌گیری کلی

کشاورزی به‌عنوان بزرگ‌ترین مصرف‌کننده منابع آب زیرزمینی، نقش محوری در بهره‌برداری از این منابع ایفا می‌کند. تأمین به‌موقع نیاز آبی این بخش می‌تواند سودآوری قابل‌توجهی برای بهره‌برداران به همراه داشته‌باشد، در حالی که عدم تأمین آب، به‌ویژه در ماه‌های گرم سال، ممکن است منجر به رشد ناقص محصولات و در نهایت خسارات اقتصادی برای کشاورزان شود. بر همین اساس، هدف اصلی این پژوهش، دستیابی به حداکثر سود کشاورزی در چارچوب محدودیت‌های موجود در منابع آب سطحی و زیرزمینی و اراضی کشاورزی است. برای تحقق این هدف، شبیه‌سازی حوضه آبخیز برای دوره ۲۰۲۱-۲۰۴۰ با استفاده از مدل WEAP و شبیه‌سازی منابع آب زیرزمینی برای دوره بلندمدت ۲۰۰۱-۲۰۲۱ با مدل MODFLOW انجام گرفت. همچنین، تولید رواناب آبی با بهره‌گیری از مدل هیدرولوژیکی IHACRES صورت پذیرفت. بخش تحلیل تغییر اقلیم نیز با استناد به گزارش پنجم IPCC و بهره‌گیری از سناریوهای انتشار RCP 2.6، RCP 4.5 و RCP 8.5 برای دوره آبی (۲۰۲۱-۲۰۴۰) انجام شد.

نتایج نشان می‌دهند که ادامه روند فعلی بهره‌برداری از آبخوان می‌تواند موجب بروز بحران‌های جدی در منابع آب زیرزمینی شود. از این‌رو، سناریوهای مختلفی با هدف کاهش برداشت و تثبیت سطح آبخوان تدوین شدند. مدل‌سازی یکپارچه منابع آب حاکی از آن است که در صورت تداوم

وضعیت موجود، در برخی ماه‌ها بین ۱۵ تا ۲۵ درصد از نیاز آبی بخش کشاورزی تأمین نخواهد شد و در صورت در نظر گرفتن اثرات تغییر اقلیم، این کمبود بین ۱ تا ۳ درصد در بلندمدت افزایش خواهد یافت.

نتایج مدل بهینه‌سازی بیانگر آن هستند که، به‌جز محصولاتمانند پیاز، نخود دیم، باغات، سبزیجات و یونجه، سایر محصولات باید از الگوی کشت منطقه حذف شوند. با این حال، اجرای سناریوهای مدیریتی و کاهش برداشت از آبخوان در محدوده ۲۰ تا ۵۰ درصد، می‌تواند منجر به افزایش سودآوری کشاورزان نسبت به شرایط موجود گردد. تحلیل میانگین دمای ماهانه در دوره پایه (۱۹۸۶-۲۰۰۵) و دوره آبی (۲۰۲۱-۲۰۴۰) نیز نشان داد که حداقل دما در تمامی مدل‌های اقلیمی CanESM2، HadGEM2-ES، CSIRO-MK3-6-0 تحت هر سه سناریوی انتشار با افزایش همراه بود. همچنین، مدل‌ها نشان می‌دهند که سناریوهای RCP 8.5 بیشترین کاهش بارش و RCP 2.6 کمترین میزان کاهش را پیش‌بینی می‌کنند.

در نتیجه، به‌منظور حفظ پایداری منابع آب زیرزمینی و محیط زیست منطقه و نیز حمایت از منافع اقتصادی کشاورزان، اتخاذ تصمیمات مدیریتی مبتنی بر کاهش برداشت از منابع آب زیرزمینی و اصلاح الگوی کشت و سطح زیرکشت، بر پایه نتایج این تحقیق، امری ضروری تلقی می‌شود.

References

- Abbasi, F., Abbasi, N., & Tavakoli, A. (2016). Water efficiency in the agricultural sector; Challenges and prospects. *Water and Sustainable Development Journal*, 4(1), 141-144. doi: 10.22067/jwsd.v4i1.67121
- Aghajanloo, K., & Fathi Almalou, H. (2024). Local Analysis of Drought and Climate Change Projection in Future Periods under the CMIP6 Model (Case Study: Mazandaran Province). *Journal of Watershed Management Research*, 15(2), 32-48. [In Persian]
- AREEO. (2022). Kermanshah Agricultural Jihad Research Group. p. 19.
- Bani Habib, M. E., & Najafi Morghmaleki, S. (2018). Assessment of game and bankruptcy theories to supply environmental water of Hawizeh Wetland. *Iran-Water Resources Research*, 14(2), 16-34.

- Banihabib, M. E., Najafi Morghmaleki, S., & Shabestari, M. H. (2019). An Integrated Water Resources Planning Model for Assessment and Prediction of Environmental Water Supplying Hawizeh Wetland from In Turkey, Iraq and Iran. *Iranian Water Researches Journal*, 13(1), 115-126.
- Bayatikhatibi, M., Kakapour, V., & Sadegi, M. (2024). Daily Discharge Prediction Using IHACRES Semi-conceptual Model (Case Study: Gharasoo Basin of Kermanshah province). *Quantitative Geomorphological Research*, 13(3), 104-119.
- Choubin, M., & Bashirgonbad, M. (2023). Evaluation of IHACRES, Conceptual Rainfall Runoff Model and Artificial Neural Network Models in Simulation and Stream flow Prediction in Bakhtiary River Basin. *Journal of Watershed Management Research*. 14(27), 115-122. [In Persian]
- Dehghani, R., Chamanpira, R., & Veyskarami, I. (2024). Investigating the Effects of Climate Change on Underground Water Sources (Case Study: Khorram Abad plain). *Iranian Water Researches Journal*, 18(2). doi: 10.22034/iwrj.2024.14796.2607
- Diancoumba, O., Toure, A., Keita, S., Konare, S., Mounir, Z. M., & Bokar, H. (2023). Predicting Groundwater Level Using Climate Change Scenarios in the Southern Part of Mali. *American Journal of Climate Change*, 12(1), 21-38
- Fathi, F., & Sebet, M. (2019). Optimum management of crop cultivation in Firouzabad plain in line with the sustainability of water and soil resources using fuzzy planning model. *Agricultural Knowledge and Sustainable Production*, 30(3), 331-345.
- Gau, H. S., & Liu, C. W. (2002). Estimation of the optimum yield in Yun-Lin area of Taiwan using loss function analysis. *Journal of Hydrology*, 263(1-4), 177-187.
- Haddad, O. B., & Marino, M. A. (2011). Optimum operation of wells in coastal aquifers. In *Proceedings of the Institution of Civil Engineers-Water Management*, 164(3), 135-146. Thomas Telford Ltd.
- Haddad, R., Banihabib, M. E., Hashemy Shahdany, S. M., Javadi, S., & Najafi, S. (2021). Supplying Environmental Water of Gavkhoni Wetland by Improving Agricultural Water Demand Management. *Iranian Journal of Ecohydrology*, 8(2), 345-355.
- Haddad, R., Najafi Marghmaleki, S., Kardan Moghaddam, H., Mofidi, M., Mirzavand, M., & Javadi, S. (2025). Improving the management of agricultural water resources to provide Gavkhuni wetland ecological water right in Iran. *Environment, Development and Sustainability*, 27(2), 3549-3572.
- Homayunpur, B., Goodarzi, M., Zehtabian, Q., Motamedvaziri, B., & Ahmadi, H. (2022). Assessing climate change impacts on groundwater fluctuation in Borkhar Plain, Isfahan. *Watershed Engineering and Management*, 14(4), 465-480. [In Persian]
- Jalili, K., & Moradi, H. (2016). Analysis of groundwater balance based on sustainability of agriculture approach in Islamabad plain. *Irrigation and Water Engineering*, 7(1), 110-127.
- Jamnani, M. R., Kayhomayoon, Z., Azar, N. A., Milan, S. G., Marghmaleki, S. N., & Berndtsson, R. (2024). Large discrepancy between future demand and supply of agricultural water in northwestern Iran; evidence from WEAP-MODFLOW-machine learning under the CMIP6 scenario. *Computers and Electronics in Agriculture*, 216, 108505.
- Jamshidzadeh, Z., & Mirbagheri, S. A. (2011). Evaluation of groundwater quantity and quality in the Kashan Basin, Central Iran. *Desalination*, 270(1-3), 23-30.
- Kermanshah regional water report, 2021). www.kshrw.ir.
- Ketabachi, Hamed, Mahmoudzadeh, Daoud, & Elahi, Hamidreza. (2019). Investigating the interaction of urban underground water flow and the construction of subsurface concrete watertight walls with a numerical modeling approach (case study: Karbala city, Iraq). *Iran Water Resources Research*, 16(2), 243-258.
- Mojarloo, F., Fazal Ovli, R., & Emadi, A. (2019). Application of IHACRES model to assess the effects of climate change on discharge of Tajan watershed. *Iranian Journal of Irrigation and Drainage*, 13(1), 129-141.
- Meddi, M., & Boucefiane, A. (2013). Climate change impact on groundwater in Cheliff-Zahrez Basin (Algeria). *APCBEE Procedia*, 5, 446-450.
- Mehraban, M., Marghmaleki, S. N., Sarang, A., & Azar, N. A. (2024). Developing climate change adaptation pathways in the agricultural sector based on robust decision-making approach (case study: Sefidroud Irrigation Network, Iran). *Environmental Monitoring and Assessment*, 196(4), 378.
- Mohammadi Khayareh, M., & Mazhari, R. (2016). Investigating the mutual impact of economic growth and the development of the agricultural sector in Iran. *Scientific Quarterly Journal of Agricultural Economics Research*, 9(36), 259-282.
- Molina, R., Auge, J. M., Farrus, B., Zanon, G., Pahisa, J., Munoz, M., & Velasco, M. (2010). Prospective evaluation of carcinoembryonic antigen (CEA) and carbohydrate antigen 15.3 (CA 15.3) in patients with primary locoregional breast cancer. *Clinical Chemistry*, 56(7), 1148-1157.
- Najafi, S., Sharafati, A., & Kardan moghaddam, H. (2022). Evaluating the effect of climate change on groundwater level changes in the Sari-Neka coastal aquifer. *Irrigation and Water Engineering*, 13(2), 312-332. [In Persian]
- Shahoei, S. V., Fahiminezhad, E., & Fatehi, Z. (2020). Impact of global climate change on climate data in Ravansar Sanjabi Basin, Kermanshah Province. *Environment and Water Engineering*, 6(1), 45-57.

- Sharan, A., Lal, A., & Datta, B. (2023). Evaluating the impacts of climate change and water over-abstraction on groundwater resources in the Pacific island country of Tonga. *Groundwater for Sustainable Development*, 20, 100890
- Sharp, M. (1998). Competitiveness and cohesion—are the two compatible. *Research Policy*, 27(6), 569-588.
- Soltani, M., Solaimani, K., Jallili, K., Sadatinejad, S. J., & Shokrian, F. (2023). Investigating Alterations in the underground water level of Ravansar- Sanjabi Plain under CIMP5 climate scenarios. *Desert Ecosystem Engineering*, 11(37), 71-84. [In Persian]
- Trenberth, K.E. (2001). Stronger evidence of human influences on climate: The 2001 IPCC Assessment. *Environment: Science and Policy for Sustainable Development*, 43(4), 8-19.
- Zarei, A., Sayari, N., Bakhtiari, B., & Ahmadi, M. M. (2021). Modeling of Precipitation–runoff for Predicting Upcoming Flow Streams in Halilroud Basin. *Iranian Journal of Ecohydrology*, 8(1), 143-160.
- Zeynali, B., Jalali, T., & Mostafavi, H. (2023). Assessment of the effect of climate change on recharge resulted from precipitation in the Shiramin basin. *Journal of Environmental Science Studies*, 8(2), 6589-6602. [In Persian]